

При  $E > 10^9$  В/м формирование пробоя происходит за времена  $t < 10^{-8}$  с (наносекундный разряд), скорость распространения плазменных каналов  $\sim 10^5$  м/с, температура достигает значений  $\sim 10^3$  К.

Приведенные результаты согласуются с известными экспериментальными данными.

## С п и с о к л и т е р а т у р ы

- [1] Кускова Н.И. // ЖТФ. 1983. Т. 53. В. 5. С. 924-925.
- [2] Косенков В.М., Кускова Н.И. // ЖТФ. 1987. Т. 57. В. 10. С. 2017-2020.
- [3] Авроров А.П., Воробьев В.В. Препринт ИЯФ СО АН СССР № 83-69. Новосибирск. 1983.

Поступило в Редакцию  
8 августа 1989 г.

Письма в ЖТФ, том 15, вып. 23

12 декабря 1989 г.

07

## ФОТОСТИМУЛИРОВАННЫЙ СДВИГ ПОЛОСЫ СЕЛЕКТИВНОГО ОТРАЖЕНИЯ В ИНДУЦИРОВАННОМ ХОЛЕСТЕРИЧЕСКОМ ЖИДКОМ КРИСТАЛЛЕ

В.Б. Виноградов, Л.А. Кутуля,  
Ю.А. Резников, В.Ю. Решетняк,  
А.И. Хижняк

Одним из типов оптической нелинейности жидкокристаллов является конформационная нелинейность, обусловленная изменением формы молекул при поглощении света [1]. В нематиках конформационная нелинейность проявляется в зависимости показателя преломления  $n$  от интенсивности света  $I$ , обусловленной изменением поляризуемости  $\chi$  молекул при фотопревращении и параметре порядка  $s$  нематика вблизи них [2-3].

В холестерических жидкокристаллах (ХЖК) изменение формы молекул может приводить, кроме изменения  $\chi$  и  $s$ , к изменению их закручивающей способности  $\beta$ , т.е. к светоиндуцированному изменению шага холестерической спирали  $\rho$  и, как следствие, к сдвигу максимума полосы селективного отражения ХЖК  $\lambda_m$  [4]. В чистом виде такая нелинейность должна проявляться в индуцированных ХЖК на основе нематических матриц с закручивающими добавками. Этим системам присущее сохранение параметров холестерической спирали

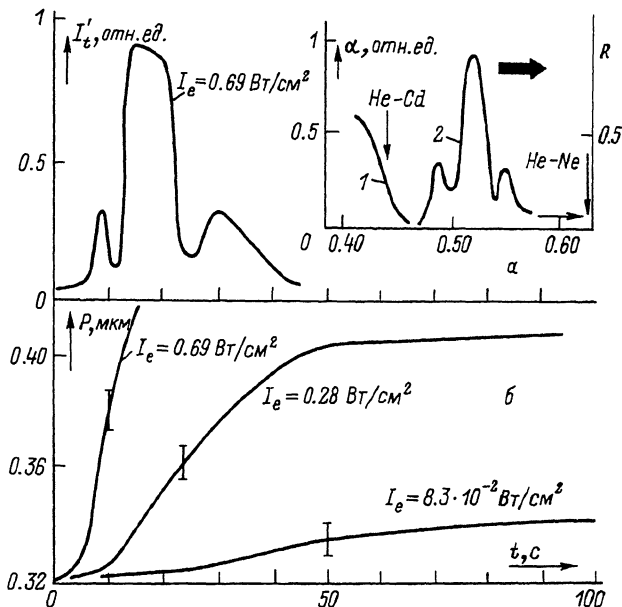


Рис. 1. а) Зависимость интенсивности отраженного тестирующего излучения  $I'_t$  от времени  $t$ . На вставке: 1 - зависимость коэффициента поглощения  $\alpha$  добавки от длины волны  $\lambda$ ; 2 - равновесный спектр селективного отражения  $R(\lambda)$ . б) Зависимость шага спирали  $\rho$  от времени  $t$  при облучении  $\text{He-Cd}$  лазером.

при изменении температуры, что позволяет исключить механизмы светоиндуцированного сдвига  $\rho$ , обусловленные изменением параметра порядка за счет нагрева ХЖК лазерным излучением [5] и связанные с изменением поляризуемости молекул при их фотопревращениях [2-3].

Светочувствительность такой системы должна быть достаточно велика. Действительно, сдвиг максимума полосы селективного отражения  $\lambda_m$  следующим образом связан с изменением закручивающей способности добавки при фотопревращении  $\Delta\beta$ :

$$\Delta\lambda_m = n\Delta\rho \approx \frac{nN}{N_0} \frac{\Delta\beta}{\beta^2},$$

где  $N=N'_i/N$ ,  $N_0=N_i/N_m$  - относительные концентрации фотопревращенных молекул добавки и молекул добавки,  $N'_i$ ,  $N_i$ ,  $N_m$  - концентрации фотопревращенных молекул, молекул добавки и молекул матрицы. При типичных значениях  $n=1.6$ ,  $\rho=0.5 \text{ мкм}$ ,  $N_0=10^{-1}$ ,  $N=10^{-2}N_0$  и  $\Delta\beta=\beta$  получаем, что  $\Delta\lambda_m=0.33 \text{ мкм}$ , т.е. полоса селективного отражения сдвигается на величину порядка видимого диапазона спектра.

Светоиндуцированный сдвиг полосы селективного отражения за счет обратимых фотопревращений молекул закручивающей добавки был нами обнаружен в индуцированном ХЖК на основе нематической матрицы ЖК-807 с оптически активной добавкой 1-арилиден-ментанон ( $N_o = 0.09$ ). Исследовался планарно-ориентированный образец толщиной  $L = 50$  мкм, значением  $\lambda_m = 0.54$  мкм и равновесным шагом спирали  $\rho_0 = 0.32$  мкм. Фотопревращения молекул добавки инициировались излучением  $He-Cl$  лазера, длина волны  $\lambda = 0.44$  мкм которого соответствовала краю полосы поглощения добавки. При поглощении света в этих молекулах происходило вращение одного из фрагментов вокруг С = С - связи [6], в результате чего возникал стереоизомер с меньшим значением  $\beta$ . Изменение  $\beta$  приводило к изменению шага спирали  $\rho$ . Об этом можно было судить по изменению пропускания и отражения нормально падающего на ХЖК поляризованного по кругу тестирующего излучения  $He-Ne$  лазера с  $\lambda_f = 0.63$  мкм.

На рис. 1,а показана зависимость интенсивности  $I_f$  отраженного от ХЖК пучка  $He-Ne$  лазера от времени воздействия излучения с  $\lambda_e = 0.44$  мкм. Она определяется перемещением полосы селективного отражения относительно реперной линии  $\lambda_f$  в сторону ИК-части спектра (см. вставку рис. 1,а). Соответствующие такому перемещению зависимости  $\rho(t)$  для нескольких значений  $I_e$ , полученные путем сопоставления значений  $I_f$  с формой полосы селективного отражения, представлены на рис. 1,б. Достаточно большие времена раскрутки спирали позволили определить зависимость  $\rho(t)$  и с помощью монохроматора. Эти данные в пределах ошибки совпали с полученными из измерений  $I_f(t)$ . Кинетика раскрутки спирали неэкспоненциальна и имеет сложный характер: эффективная раскрутка начинается спустя некоторое время  $t_1$ , линейно уменьшающееся с увеличением  $I_e$ . Релаксация  $\rho$  также начинается спустя некоторое время после выключения света.

На рис. 2 показана зависимость стационарного значения  $\lambda_m$  от интенсивности  $I_e$ . В пределах ошибки она линейна. Тангенс угла наклона  $E_{eff} = (0.29 \pm 0.025)$  мкм/Вт см<sup>-2</sup> характеризует чувствительность системы и является эффективным параметром конформационной нелинейности индуцированного ХЖК.

Границные условия на ориентирующих поверхностях существенно влияют на распределение директора ЖК в ячейке [7]. Поэтому для описания полученных результатов необходимо решить задачу о распределении директора в ячейке с конечной энергией сцепления  $W$  ХЖК с планарно ориентирующими поверхностями. В общем случае ее решение приводит к довольно громоздким выражениям. Однако в предельных случаях, когда параметр сцепления  $\xi = \frac{W}{K} \gg 1$  ( $K$  - константа Франка) и  $\xi \ll 1$ , они существенно упрощаются. При типичных значениях  $W = 10^{-2}$  эрг/см<sup>2</sup> для планарно ориентирующих поверхностей и  $L = 50$  мкм  $\xi \gg 1$  и волновой вектор холестерической спирали определяется выражением

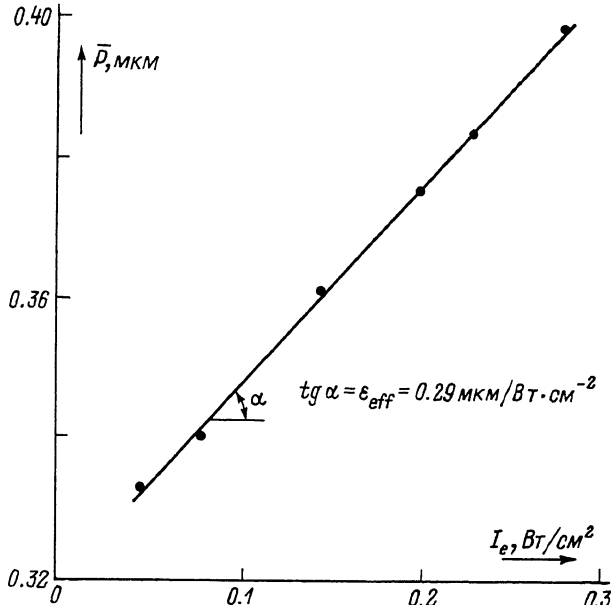


Рис. 2. Зависимость стационарного значения  $\bar{P}$  от интенсивности  $I_e$ .

$$q = \frac{\pi m}{L} \left( 1 + \frac{1}{\xi} \right) - \frac{1}{\xi} \left[ q_0 + \frac{\partial q_0}{\partial N} dN(I) \right], \quad (1)$$

где  $m$  – целое число, причем такое, что значение  $q_0 + \frac{\partial q_0}{\partial N} dN$  минимально,  $q_0 = 2\pi/\rho_0$ . Видно, что значение  $q$  в ячейке отличается от значения  $q_0$  в неограниченном образце. При воздействии на ХЖК света величина  $q$  линейно изменяется с ростом ее интенсивности до достижения некоторого „критического“ значения  $q_m^*$ , при котором значение  $m$  изменяется на единицу, а волновой вектор скачком изменяется на  $\pi(1 + 1/\xi)/L$ . Далее опять следует линейное изменение  $q$  до достижения следующего критического значения  $q_m^*$ . Чувствительность величины  $q$  к значению  $I$  зависит не только от изменения закручивающей способности добавки при фотопревращении, но и от параметра сцепления – в зоне линейного изменения  $q$  чувствительность  $dq/dI \sim \xi^{-1}$ .

Зона значений интенсивности, в которой  $m = \text{const}$  и  $q$  изменяется монотонно, является аналогом хорошо известных зон Гранжа-на [8], которые определяются диапазоном изменений  $L$  в клиновой ячейке, где значение  $q = \text{const}$ .

Кинетика установления стационарного значений  $\bar{q}$  зависит от соотношения времени жизни  $\tau$  стереоизомеров и времени установления поля директора  $\tau_n(\xi, \eta)$  ( $\eta$  – вязкость), а также началь-

ного значения  $q(t=0)$ . Если интенсивность света такова, что значения  $q(t=0)$  и  $\bar{q}$  находятся в одной зоне и  $t \ll t_n$ , то зависимость  $q(t)$  определяется временем  $t_n$ . Если же таково, что при изменении  $q$  происходит "перескок" в другую зону Гранжана, то раскрутка спирали проходит в два этапа. На первом этапе, ограниченном временем  $t_1$ , за которое концентрация  $N$  достигает значения, соответствующего  $q_m^*$ , зависимость  $q(t)$  определяется временем  $t_n$  достижения стационарного значения  $\bar{q}_m(I_0)$ . Затем происходит скачок стационарного значения  $\bar{q}_m$  на величину  $\Delta q \approx \frac{\rho}{L}$ , и на втором этапе зависимость  $q(t)$  определяется временем достижения нового стационарного значения  $\bar{q}_{m+1} \approx \bar{q}_m + \frac{\rho}{L}$ . С увеличением интенсивности света время первого этапа линейно сокращается.

Полученные результаты качественно описываются в рамках рассмотренной модели, если учесть, что диапазон изменения  $\Delta p \approx \approx 8 \cdot 10^{-2}$  мкм в нашем случае много больше ширины одной зоны  $P_{m+1} - P_m \approx \frac{\rho_0^2}{2L} \approx 9 \cdot 10^{-4}$  мкм, в результате чего зависимости  $\Delta p(I)$  и  $\Delta p(t)$  оказываются монотонными. Для экспериментального обнаружения зонной структуры зависимости  $\Delta p(I)$  представляется удобным исследовать образцы, в которых число шагов спирали сравнимо с толщиной ячейки. В этом случае ширина зоны оказывается порядка  $\frac{\rho_0}{2}$  и сравнима с диапазоном изменения  $p$ .

В заключение следует отметить, что благодаря температурной стабильности шага спирали в индуцированных ХЖК, нелинейно-оптические системы на основе конформационной нелинейности в этих средах не требуют температурной стабилизации. Это выгодно отличает их от систем на тепловой нелинейности в собственных ХЖК и делает перспективным использование конформационной нелинейности в различных нелинейно-оптических системах на основе индуцированных ХЖК.

Авторы благодарят Н.В. Табиряна и В.Н. Садовского за полезные обсуждения и интерес к работе.

#### Список литературы

- [1] Одулов С.Г., Резников Ю.А., Соскин М.С., Хижняк А.И. // ЖЭТФ. 1982. Т. 82. В. 5. С. 1475-1484.
- [2] Одулов С.Г., Резников Ю.А., Соскин М.С., Хижняк А.И. // ЖЭТФ. 1983. Т. 85. В. 6. С. 1988-1996.
- [3] Пинкевич И.И., Резников Ю.А., Решетняк В.Ю., Соскин М.С., Хижняк А.И., Ярошук О.В. // УФЖ. 1987. Т. 32. № 8. С. 1216-1220.
- [4] Richard L., Marin J., Huingnard J.P. // Opt. Commun. 1986. N 5. P. 365-370.

- [5] Haas W.E., Nelson K.F., Adams J.E. // Journ. Electrochem. Soc. 1974. V. 121. P. 1667–1669.
- [6] Кутуля Л.А., Немченок И.Б. В кн.: 1У Всес. конф. „Жидкие кристаллы и их практическое использование”. Тез. докл. Чернигов: Черниговский педагогический институт. 1988. Т. 1. С. 16.
- [7] Марусий Т.Я., Резников Ю.А., Решетняк В.Ю., Соскин М.С., Хижняк А.И. // ЖЭТФ. 1986. Т. 91. В. 9. С. 851–860.
- [8] Беляков В.А., Сонин А.С. Оптика холестерических жидкких кристаллов, М.: Наука, 1982. 360 с.

Институт физики  
АН УССР, Киев

Поступило в Редакцию  
10 апреля 1989 г.  
В окончательной редакции  
20 октября 1989 г.

Письма в ЖТФ, том 15, вып. 23

12 декабря 1989 г.

05.4;11

## УПРУГОЕ ОТРАЖЕНИЕ ЭЛЕКТРОНОВ СРЕДНЕЙ ЭНЕРГИИ ОТ ПОВЕРХНОСТИ ВТСП-КЕРАМИКИ

М.В. Гомоюнова, А.К. Григорьев,  
И.И. Пронин, А.Е. Роднянский

С момента открытия ВТСП-материалов в их исследованиях широко применяются методы электронной спектроскопии, в частности электронная оже-спектроскопия (ЭОС) и спектроскопия потерь энергии электронов. Мы расширили арсенал этих средств и впервые изучили угловые распределения электронов средней энергии, упруго отраженных от поверхности  $YBa_2Cu_3O_{7-x}$  – керамики. Кроме того, в работе использованы методы ЭОС и спектроскопии потерь энергии в наиболее информативном их варианте – с угловым разрешением. В настоящем кратком сообщении приведены лишь некоторые из полученных результатов. Более полно они будут опубликованы позднее.

Исследования проведены на вторично-электронном спектрометре с угловым разрешением, описанным в [1, 2]. Энергетическое разрешение анализатора составляло 0.4 %, а угловое разрешение  $\sim 1^\circ$ . Образец мог охлаждаться до температуры кипения жидкого азота, следовательно, была доступна область температур T, включающая T<sub>c</sub> фазового перехода в сверхпроводящее состояние. Упруго отраженные электроны (УОЭ) регистрировались в форме N(E), а спектры оже-электронов снимались в виде  $dN(E)/dE$ . Измерения проведены в диапазоне энергий E бомбардирующих электронов 0.25–